



ΑΡΙΣΤΟΤΕΛΕΙΟ ΠΑΝΕΠΙΣΤΗΜΙΟ ΘΕΣΣΑΛΟΝΙΚΗΣ

ΕΙΔΙΚΟΣ ΛΟΓΑΡΙΑΣΜΟΣ ΚΟΝΔΥΛΙΩΝ ΕΡΕΥΝΑΣ

Κτίριο ΚΕΔΕΑ, 3ης Σεπτεμβρίου,
Πανεπιστημιούπολη,
546 36 Θεσσαλονίκη

Πρόεδρος: Αν. Καθηγητής Ε. Στυλιανίδης,
Αν. Πρύτανης Έρευνας και Συντονισμού
Τηλ. 2310 995140, Fax 2310 200392
Email: research@rc.auth.gr

ΔΙΑΠΙΣΤΕΥΜΕΝΟ ΕΡΓΑΣΤΗΡΙΟ

"Εργαστήριο Ελέγχου Ρύπανσης Περιβάλλοντος-Ομάδα
Μέτρησης Αιωρούμενων Σωματιδίων, ΕΕΡΠ-ΟΜΑΣ",
Παλιό Χημείο, Πανεπιστημιούπολη,
541 24 Θεσσαλονίκη

Διευθύντρια: Καθηγ. Κ. Σαμαρά-Κωνσταντίνου
Τηλ. 2310 997805, Fax 2310 997747
Email: csamara@chem.auth.gr

ΕΡΕΥΝΗΤΙΚΟ ΕΡΓΟ

**Παροχή υπηρεσιών μετρήσεων ατμοσφαιρικών ρύπων
στην περιοχή του Εμπορικού Λιμένα Βόλου**

**ΤΕΛΙΚΗ ΕΚΘΕΣΗ
(01.06.22-31.05.23)**



ΘΕΣΣΑΛΟΝΙΚΗ, Αύγουστος 2023

ΣΤΟΙΧΕΙΑ ΤΟΥ ΠΡΟΓΡΑΜΜΑΤΟΣ

<i>Τίτλος Έργου</i>	Παροχή υπηρεσιών μετρήσεων ατμοσφαιρικών ρύπων στην περιοχή του Εμπορικού Λιμένα Βόλου
<i>Χρονική Διάρκεια</i>	36 μήνες
<i>Φορέας Χρηματοδότησης</i>	ΟΡΓΑΝΙΣΜΟΣ ΛΙΜΕΝΟΣ ΒΟΛΟΥ, Α.Ε.
<i>Ανάδοχος</i>	Διαπιστευμένο Εργαστήριο "Εργαστήριο Ελέγχου Ρύπανσης Περιβάλλοντος-Ομάδα Μέτρησης Αιωρούμενων Σωματιδίων, ΕΕΡΠ-ΟΜΑΣ", Τμήμα Χημείας, Α.Π.Θ.
<i>Επιστημονικώς Υπεύθυνη</i>	Κ. Σαμαρά-Κωνσταντίνου, Καθηγήτρια Τμ. Χημείας Α.Π.Θ.
<i>Επιστημονικοί Συνεργάτες</i>	Δ. Βουτσά, Καθηγήτρια Τμ. Χημείας Α.Π.Θ. Α. Κούρας, Διδάκτωρ Χημείας, ΕΔΙΠ Τμ. Χημείας Α.Π.Θ. Ε. Μανώλη, Διδάκτωρ Χημείας, ΕΔΙΠ Τμ. Χημείας Α.Π.Θ.

ΠΕΡΙΕΧΟΜΕΝΑ

1. Μεθοδολογία	3
1.1. Σταθμός μέτρησης ατμοσφαιρικής ρύπανσης	3
1.2. Δειγματοληψία και χημική ανάλυση των PM ₁₀	5
1.2.1. PAHs.....	5
1.2.2. Μέταλλα/μεταλλοειδή	6
2. Αποτελέσματα	7
2.1. Online μετρήσεις.....	7
2.2. Συσχέτιση με μετεωρολογικούς παράγοντες.....	11
2.3. Σταθμικές μετρήσεις /αναλύσεις PM ₁₀	14
2.2.1. PM ₁₀	14
2.2.2. PAHs.....	14
2.2.3. Μέταλλα/μεταλλοειδή	17
Βιβλιογραφία	22
ΠΑΡΑΡΤΗΜΑ 1	

1. ΜΕΘΟΔΟΛΟΓΙΑ

1.1. Σταθμός μέτρησης ατμοσφαιρικής ρύπανσης

Ο σταθμός μέτρησης ατμοσφαιρικής ρύπανσης (ΣΜΑΡ) είναι εγκαταστημένος σε οικίσκο που διατέθηκε από την ΟΛΒ Α.Ε. και βρίσκεται στο δυτικό άκρο της περιοχής του λιμένα (Εικόνα 1).



Εικόνα 1. Ο σταθμός μέτρησης ατμοσφαιρικής ρύπανσης (ΣΜΑΡ) του ΟΛΒ

Ο εξοπλισμός του ΣΜΑΡ περιλαμβάνει όργανα online μέτρησης αερίων ρύπων (NO_x , O_3 , αρωματικών υδρογονανθράκων ΒΤΕΧ) και αιωρούμενων σωματιδίων $\text{PM}_{10}/\text{PM}_{2.5}$, μετεωρολογικό σταθμό, λογισμικό συλλογής και καταγραφής μετρήσεων, Η/Υ και δειγματολήπτη PM_{10} .

Οι τύποι των οργάνων και η αρχή λειτουργίας τους περιγράφονται στον Πίνακα 1. Φωτογραφίες ορισμένων οργάνων δίνονται στην Εικόνα 2.

Οι αναλυτές NO_x , O_3 , ΒΤΕΧ, $\text{PM}_{10}/\text{PM}_{2.5}$ είναι τοποθετημένοι στο εσωτερικό του οικίσκου, σε κλιματιζόμενο χώρο. Ο δειγματολήπτης PM_{10} είναι τοποθετημένος σε ειδικά διαμορφωμένη εξωτερική θέση, στο μπροστινό μέρος του οικίσκου. Τα ακροφύσια και οι κεφαλές όλων των συσκευών μέτρησης/δειγματοληψίας βρίσκονται σε κατάλληλο ύψος από το έδαφος σύμφωνα με τις απαιτήσεις των Οδηγιών 2008/107/ΕΚ και 2004/50/ΕΚ [1,5 m (ζώνη αναπνοής) έως 4 m πάνω από το έδαφος].

Η βαθμονόμηση/συντήρηση των αυτόματων αναλυτών NO_x , O_3 , ΒΤΕΧ γίνεται σε μηνιαία βάση από διαπιστευμένο Εργαστήριο ΚΑΜΠΑΣ Ι.Β. & ΣΙΑ Ε.Ε., Επιστημονικά Όργανα Μετρήσεων, σύμφωνα με τα εγχειρίδιο του κάθε οργάνου. Η βαθμονόμηση του μετρητή $\text{PM}_{10}/\text{PM}_{2.5}$ γίνεται σε τακτική βάση από το διαπιστευμένο Εργαστήριο ΕΕΡΠ-ΟΜΑΣ, Τμήμα Χημείας, Α.Π.Θ., ενώ η ετήσια βαθμονόμηση από την κατασκευάστρια εταιρεία στην Αγγλία.



Εικόνα 2α.
Αναλυτής NO_x



Εικόνα 2β.
Μετρητής $PM_{10}/PM_{2.5}$



Εικόνα 2γ.
Δειγματολήπτης αιωρούμενων
σωματιδίων PM_{10} κατά ISO/IEC
EN-12341

Πίνακας 1. Εξοπλισμός του ΣΜΑΡ του ΟΛΒ

Εξοπλισμός	Τύπος
Αναλυτής NO _x	AC32M, ENVIRONMENT SA
Αναλυτής O ₃	O341M, ENVIRONMENT SA
Αναλυτής αρωματικών υδρογονανθράκων BTEX	VOC72M, ENVEA SA
Μετρητής PM ₁₀ /PM _{2.5}	DUSTTRAK™ DRX Aerosol Monitor, TSI
Μετεωρολογικός σταθμός με <ul style="list-style-type: none">– αισθητήριο ταχύτητας και διεύθυνσης ανέμου– αισθητήριο θερμοκρασίας και υγρασίας– αισθητήριο βαρομετρικής πίεσης	LSI-LASTEM
Λογισμικό συλλογής και καταγραφής μετρήσεων	ENVIDAS For Windows της Envitech LTD
Δειγματολήπτης PM ₁₀	LVS Ingenieur Derenda, Berlin με κεφαλή PM ₁₀ και παροχή 2.3 m ³ /h σε συμφωνία με το πρότυπο ISO/IEC EN-12341

1.2. Δειγματοληψία και χημική ανάλυση των PM₁₀

Η δειγματοληψία των PM₁₀ γίνεται με συχνότητα 1 δείγμα/εβδομάδα σε προζυγισμένο φίλτρο quartz (Tissuquartz Pall, Φ 47 mm). Η διάρκεια των δειγματοληψιών είναι 24 ώρες. Τα φορτισμένα φίλτρα μεταφέρονται στο Εργαστήριο Ελέγχου Ρύπανσης Περιβάλλοντος για προσδιορισμό της συγκέντρωσης των PM₁₀ και περαιτέρω χημική ανάλυση για τον προσδιορισμό των καρκινογόνων συστατικών Β[α]Ρ, As, Cd, Ni, Pb σύμφωνα με τις απαιτήσεις της Οδηγίας 2004/107/ΕΚ. Η δειγματοληψία, χειρισμός και ζύγιση των φίλτρων γίνονται σύμφωνα με το πρότυπο ISO/IEC EN-12341.

Μετά την τελική ζύγιση, τα φίλτρα κόβονται ακριβώς στη μέση και το ένα μισό χρησιμοποιείται για τον προσδιορισμό του Β[α]Ρ και άλλων PAHs, ενώ το άλλο μισό για τον προσδιορισμό Ni, Cd, As, Pb και άλλων βαρέων μετάλλων – τοξικών στοιχείων.

1.2.1. PAHs

Η παραλαβή των PAHs από τα φίλτρα πραγματοποιείται με εκχύλιση με υπερήχους, χρησιμοποιώντας ακετονιτρίλιο ως διαλύτη εκχύλισης. Ακολουθεί συμπύκνωση των εκχυλισμάτων σε περιστροφικό εξατμιστήρα κενού και ρύθμιση όγκου σε 1 mL ακετονιτρίλιο. Οι PAHs προσδιορίζονται με την τεχνική της υγρής χρωματογραφίας υψηλής πίεσης με προγραμματιζόμενο φθορισμομετρικό ανιχνευτή (HPLC/FLD) σύμφωνα με βελτιστοποιημένες διαδικασίες (Manoli et al., 2002; Manoli et al., 2004). Η βαθμονόμηση γίνεται με το πρότυπο NIST Standard Reference Material 1647c που περιέχει 16 PAHs: Naphthalene (Np), Acenaphthylene (Acn), Acenaphthene (Ace), Fluorene (F), Phenanthrene (Ph), Anthracene (An), Fluoranthene (Fl), Pyrene (Py), Benzo[a]anthracene (B[a]An), Chrysene (Chry), Benzo[b]fluoranthene (B[b]Fl), Benzo[k]fluoranthene (B[k]Fl), Benzo[a]pyrene (B[a]Py), diBenzo[a,h]anthracene (dB[a,h]An), Benzo[g,h,i]perylene (B[ghi]Pe), Indenol[1,2,3-c,d]pyrene (I[1,2,3-cd]Py). Το Acenaphthylene έχει πολύ ασθενή φθορισμό και γι' αυτό δεν μπορεί να ανιχνευθεί.

Ο έλεγχος ποιότητας περιλαμβάνει ανάλυση λευκών φίλτρων και αντιδραστηρίων, καθώς και επιφορτισμένων δειγμάτων (spike). Η ανάκτηση των χαμηλού MB PAHs (Np, Ace και F) βρέθηκε σχετικά χαμηλή και με μεγάλες διακυμάνσεις (48–71%) λόγω της μεγάλης πτητικότητας αυτών των ενώσεων. Η ανάκτηση των υπόλοιπων PAHs ήταν σχεδόν ποσοτική (87–108%) και η επαναληψιμότητα της μέτρησής τους (εκφραζόμενη ως σχετική τυπική απόκλιση του ύψους κορυφής) καλύτερη από 10%. Τα όρια ανίχνευσης (LOD) των διαφόρων PAHs κυμάνθηκαν μεταξύ 0.0002 και 0.035 ng/m³. Για τη στατιστική επεξεργασία των μετρήσεων, οι συγκεντρώσεις κάτω από το όριο ανίχνευσης θεωρήθηκαν ίσες με το μισό της τιμής του ορίου.

1.2.2. Μέταλλα / μεταλλοειδή

Ο προσδιορισμός των μετάλλων/μεταλλοειδών στα δείγματα των PM₁₀ πραγματοποιείται με την τεχνική ICP-MS μετά από πέψη των φίλτρων με οξειδωτικό μίγμα οξέος – υπεροξειδίου του υδρογόνου (HNO₃/H₂O₂). Ο έλεγχος ποιότητας περιλαμβάνει ανάλυση λευκών φίλτρων και αντιδραστηρίων, καθώς και επιφορτισμένων δειγμάτων (spike). Το όριο ποσοτικοποίησης (LOQ) για Pb, As, Ni, Mn, Fe, Zn και Cr είναι 0,025 μg/δείγμα, ενώ για το Cd είναι 0,0025 μg/δείγμα.

2. ΑΠΟΤΕΛΕΣΜΑΤΑ

2.1. Online μετρήσεις

2.1.1. Σύγκριση με τα όρια της Οδηγίας 2008/50/ΕΚ

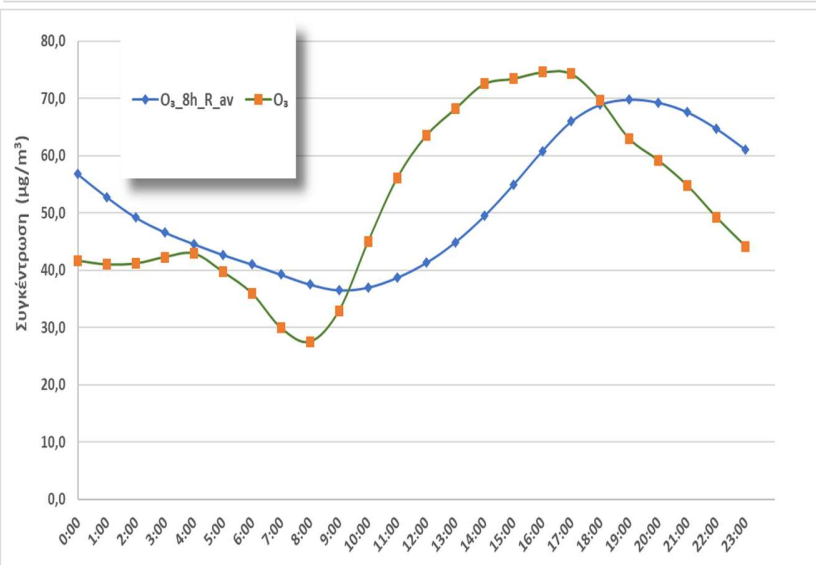
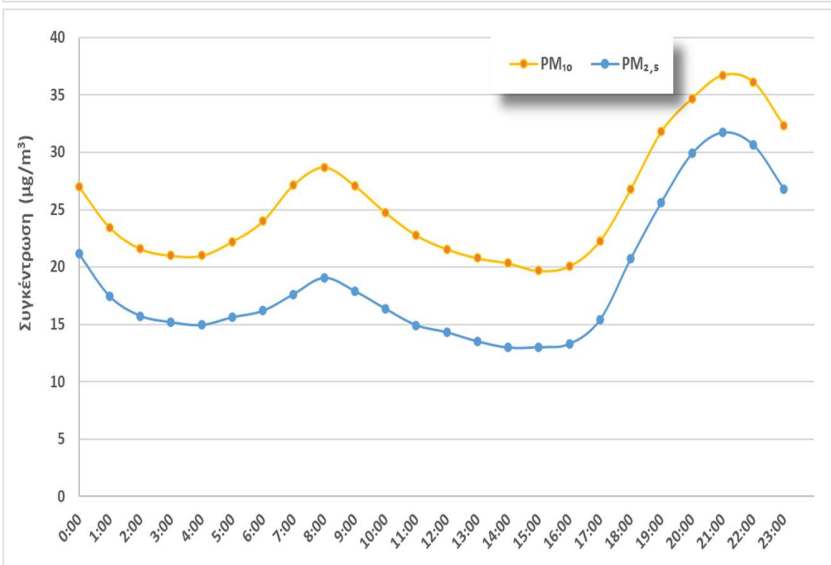
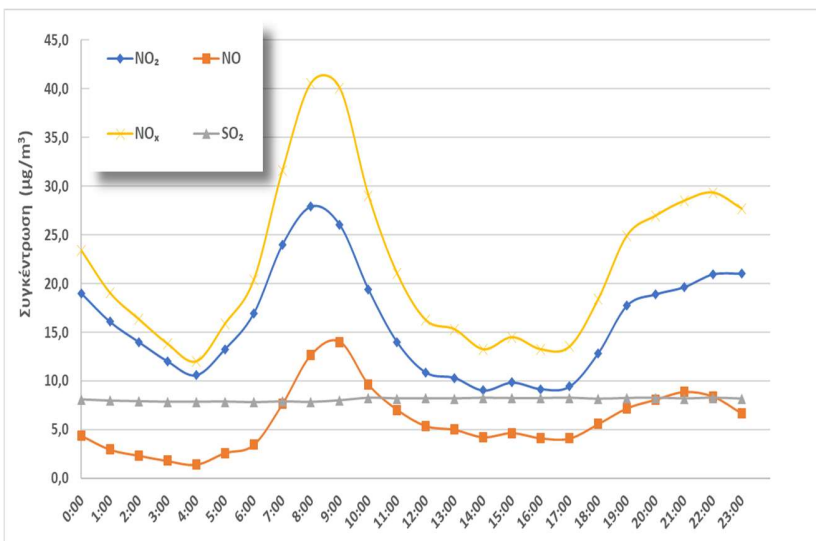
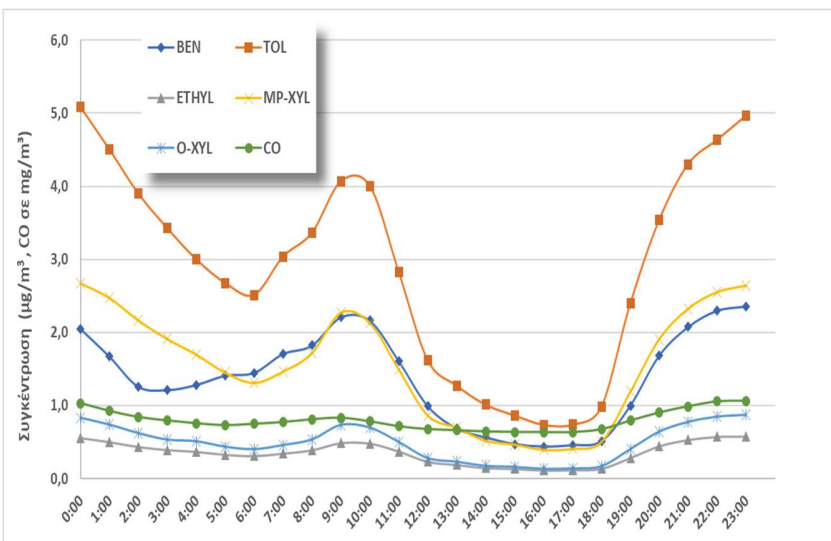
Σε σύγκριση με τα όρια της Οδηγίας 2008/50/ΕΚ «για την ποιότητα του ατμοσφαιρικού αέρα και καθαρότερο αέρα για την Ευρώπη» που δίνονται στο ΠΑΡΑΡΤΗΜΑ 1:

- Η μέση ωριαία τιμή του NO₂ για το χρονικό διάστημα των μετρήσεων ήταν 16,0 μg/m³, κατά πολύ μικρότερη από το ετήσιο όριο (40 μg/m³), ενώ δεν παρατηρήθηκε καμία υπέρβαση του ωριαίου ορίου των 200 μg/m³ (η μέγιστη ωριαία τιμή για το χρονικό διάστημα των μετρήσεων ήταν 90,3 μg/m³).
- Η μέση τιμή του βενζολίου ήταν 1,4 μg/m³, επίσης κατά πολύ μικρότερη του ετήσιου ορίου (5 μg/m³).
- Το SO₂ καταγράφηκε για το διάστημα από 12.12.2022 έως 31.05.2023. Η μέση ημερήσια τιμή SO₂ για αυτό το χρονικό διάστημα ήταν 8,3 μg/m³ και δεν παρατηρήθηκε καμία υπέρβαση του ημερήσιου ορίου των 125 μg/m³ (η μέγιστη ημερήσια τιμή γι' αυτό το χρονικό διάστημα ήταν 20,6 μg/m³). Ακόμη, δεν παρατηρήθηκε καμία υπέρβαση του ωριαίου ορίου των 350 μg/m³ (η μέγιστη ωριαία τιμή γι' αυτό το χρονικό διάστημα ήταν 42,6 μg/m³).
- Το CO καταγράφηκε για το διάστημα από 12.12.2022 έως 31.05.2023. Η μέση ημερήσια τιμή CO για αυτό το χρονικό διάστημα ήταν 0,8 mg/m³ ενώ η αντίστοιχη μέγιστη μέση ημερήσια τιμή ήταν 1,8 mg/m³. Ακόμη, ο μέγιστος ημερήσιος μέσος όρος οκταώρου ήταν 2,8 mg/m³, κατά πολύ μικρότερος του ορίου των 10 mg/m³.
- Η μέση τιμή των ημερήσιων συγκεντρώσεων του σωματιδιακού κλάσματος PM₁₀ ήταν 25,7 μg/m³, μικρότερη του ετήσιου ορίου (40 μg/m³), ενώ παρατηρήθηκαν 23 υπερβάσεις του ημερήσιου ορίου για τα PM₁₀ (50 μg/m³): 2 τον Ιούνιο (54-59 μg/m³), 1 τον Ιούλιο (51 μg/m³), 1 τον Αύγουστο (51 μg/m³), 1 τον Οκτώβριο (65 μg/m³), 9 το Δεκέμβριο (51-67 μg/m³), 6 τον Ιανουάριο (54 - 78 μg/m³) και 3 το Φεβρουάριο (58-60 μg/m³).
- Η μέση τιμή των ημερήσιων συγκεντρώσεων του σωματιδιακού κλάσματος PM_{2,5} ήταν 18,8 μg/m³, κάτω από το ετήσιο όριο (25 μg/m³).
- Για το O₃, η μέση τιμή του ημερήσιου μέγιστου κυλιόμενου μ.ο. 8ώρου ήταν 73 μg/m³ ενώ η αντίστοιχη μέγιστη τιμή ήταν 122 μg/m³ η οποία αποτέλεσε και τη μόνη τιμή υπέρβασης της τιμής στόχου των 120 μg/m³.

2.1.2. Χρονικές διακυμάνσεις

Οι μέσες διακυμάνσεις (ημερήσια, εβδομαδιαία και μηνιαία) των συγκεντρώσεων ΒΤΕΧ, CO, NO_x, O₃, PM₁₀ και PM_{2.5} κατά το χρονικό διάστημα 01.06.22-31.05.23 δίνονται στα Σχήματα 2.1.1, 2.1.2 και 2.1.3, αντίστοιχα.

Όπως προκύπτει, οι πρωτογενείς ρύποι ΒΤΕΧ, CO, NO_x, PM₁₀ και PM_{2.5} εμφανίζουν δύο μέγιστα στη διάρκεια του 24ώρου, ένα πρωινό (μεταξύ 8:00-9:00) και ένα βραδινό (μεταξύ 20:00-22:00), τα οποία σχετίζονται με την ημερήσια διακύμανση των πηγών εκπομπής (κυκλοφορία, οικιακή θέρμανση), αλλά και των μετεωρολογικών συνθηκών (ύψος ανάμιξης, ταχύτητα ανέμου). Η ημερήσια διακύμανση του O₃ που είναι δευτερογενής ρύπος είναι αντίθετη με μέγιστο μεταξύ 15:00-17:00. Το SO₂ δεν φαίνεται να έχει ημερήσια διακύμανση. Μικρή εβδομαδιαία διακύμανση παρατηρείται για το O₃ με σχετικά υψηλότερες τιμές το σαββατοκύριακο.



Σχήμα 2.1.1. Μέση ημερήσια διακύμανση των συγκεντρώσεων BTEX, CO, NO_x, SO₂, O₃, PM₁₀ και PM_{2.5} κατά το χρονικό διάστημα 01.06.22 – 31.05.23



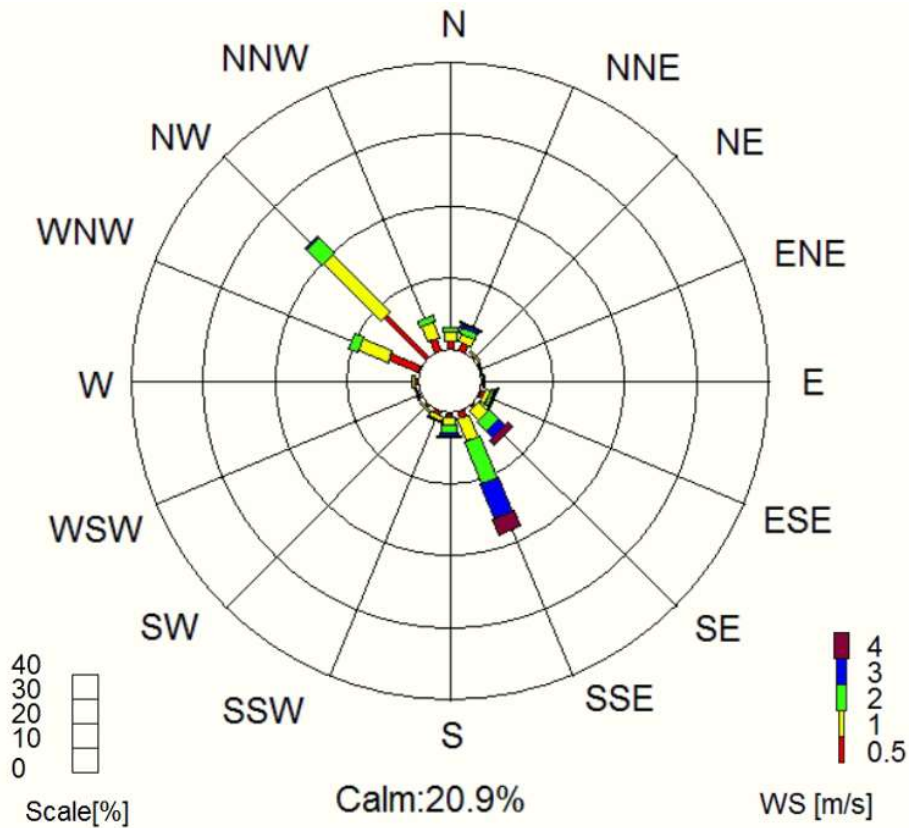
Σχήμα 2.1.2. Μέση εβδομαδιαία διακύμανση των συγκεντρώσεων BTEX, CO, NO_x, SO₂, O₃, PM₁₀ και PM_{2.5} κατά το χρονικό διάστημα 01.06.22 – 31.05.23



Σχήμα 2.1.3. Μέση μηνιαία διακύμανση των συγκεντρώσεων BTEX, CO, NO_x, O₃, PM₁₀ και PM_{2,5} κατά το χρονικό διάστημα 01.06.22-31.05.23

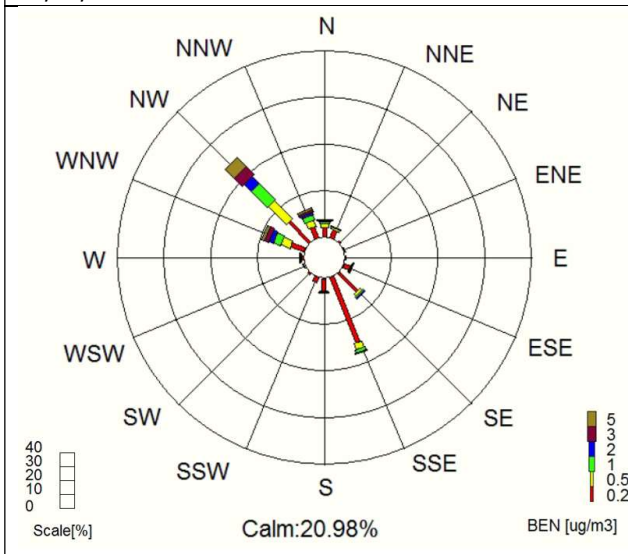
2.1.3. Συσχέτιση με μετεωρολογικούς παράγοντες

Η συχνότητα εμφάνισης και η ταχύτητα των επικρατούντων ανέμων κατά τη διάρκεια της περιόδου των μετρήσεων δίνεται στο ροδόγραμμα του Σχήματος 2.1.4. Τα αντίστοιχα ροδογράμματα των συγκεντρώσεων των αέριων ρύπων δίνονται στο Σχήμα 2.1.5.

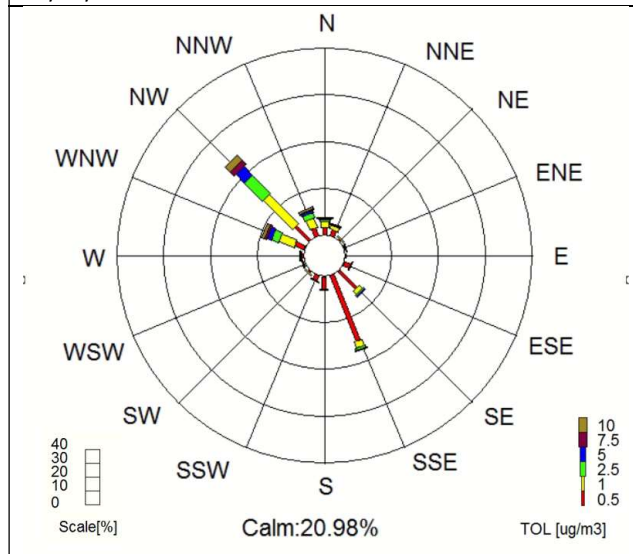


Σχήμα 2.1.4. Συχνότητα εμφάνισης και μέση ταχύτητα ανέμου ανά διεύθυνση προέλευσης κατά την περίοδο των μετρήσεων 01.06.22-31.05.23

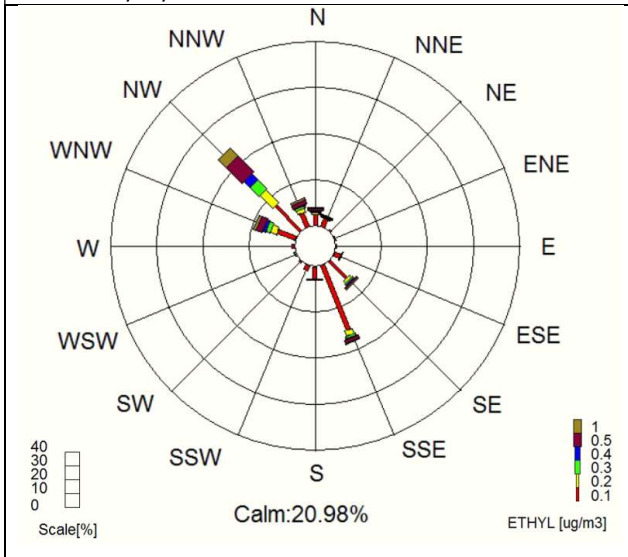
Pollution Rose for Benzene ($\mu\text{g}/\text{m}^3$) 01/06/2022 00:00 – 31/05/2023 24:00 Station O.L. Volos AVG: 15min



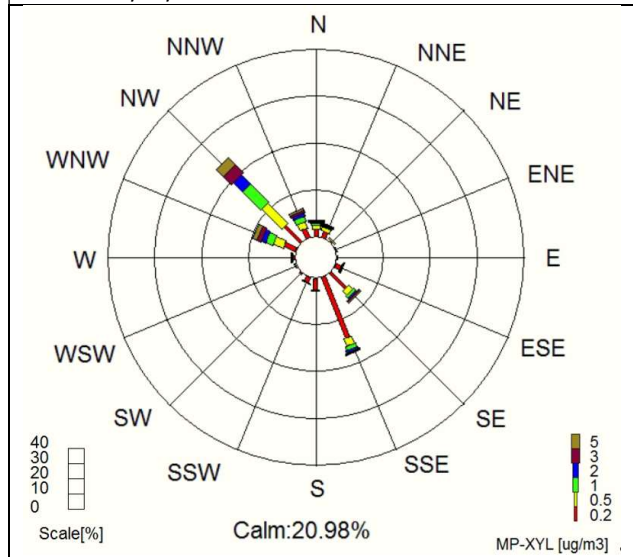
Pollution Rose for Toluene ($\mu\text{g}/\text{m}^3$) 01/06/2022 00:00 – 31/05/2023 24:00 Station O.L. Volos AVG: 15min



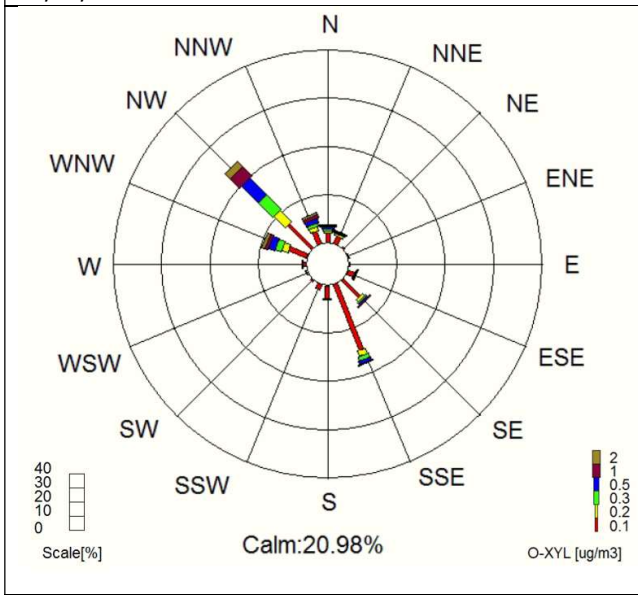
Pollution Rose for EthylBenzene ($\mu\text{g}/\text{m}^3$) 01/06/2022 00:00 – 31/05/2023 24:00 Station O.L. Volos AVG: 15min



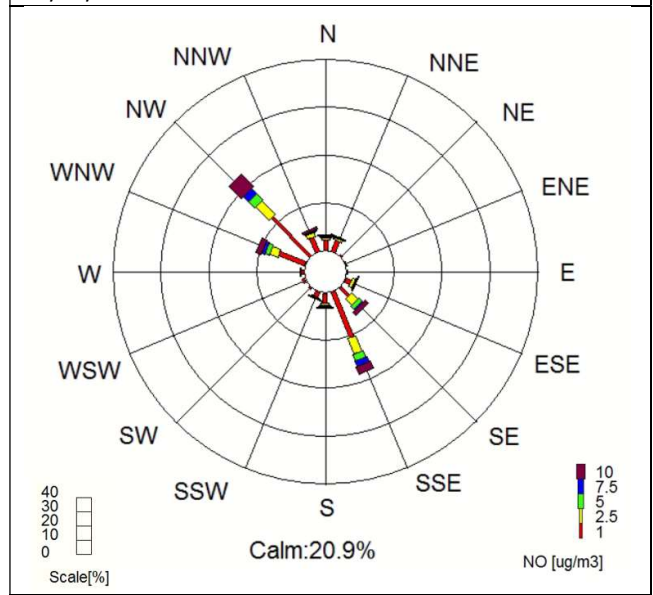
Pollution Rose for m+p-Xylenes ($\mu\text{g}/\text{m}^3$) 01/06/2021 00:00 – 31/05/2022 24:00 Station O.L. Volos AVG: 15min



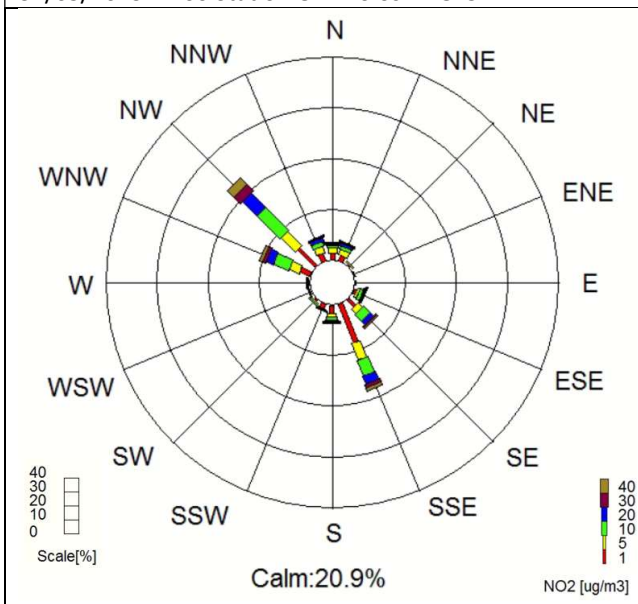
Pollution Rose for o-Xylene ($\mu\text{g}/\text{m}^3$) 01/06/2022 00:00 – 31/05/2023 24:00 Station O.L. Volos AVG: 15min



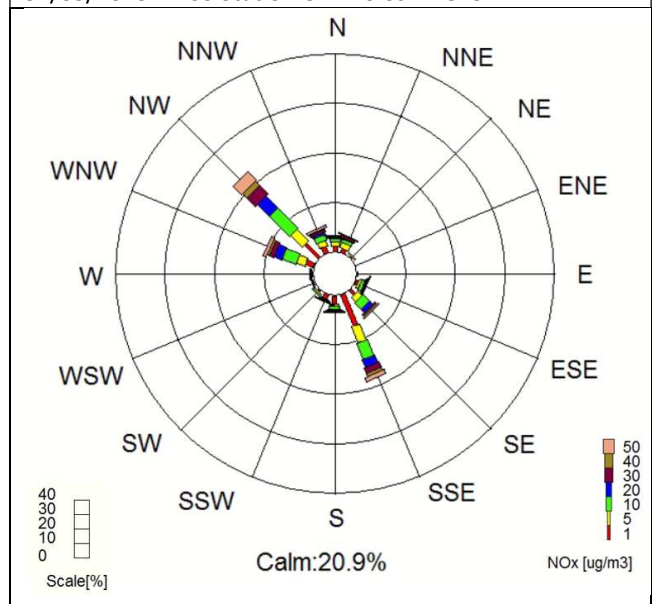
Pollution Rose for NO ($\mu\text{g}/\text{m}^3$) 01/06/2022 00:00 – 31/05/2023 24:00 Station O.L. Volos AVG: 5min

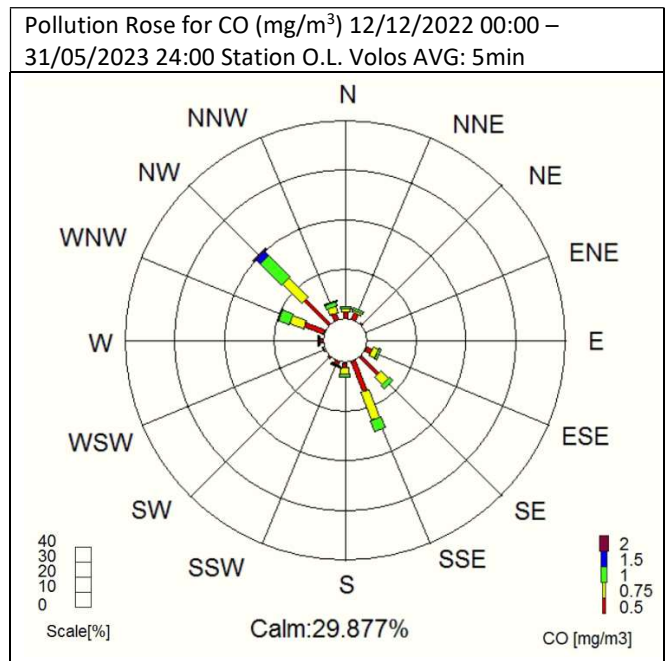
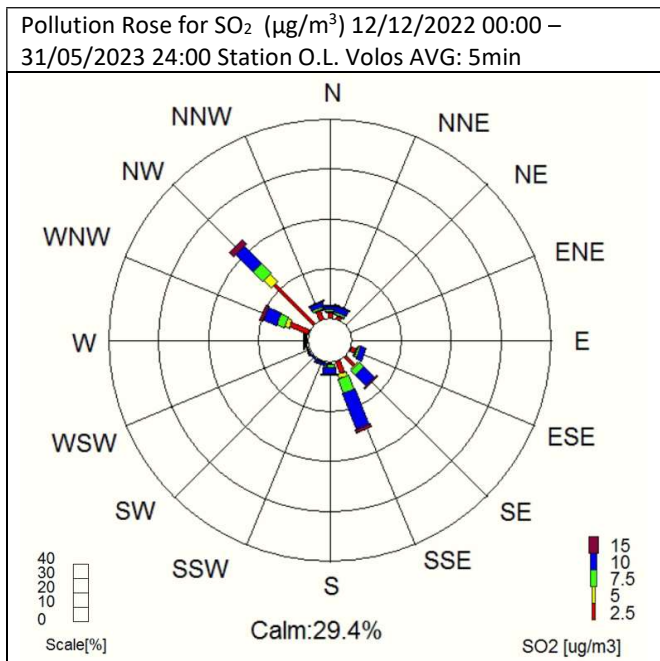
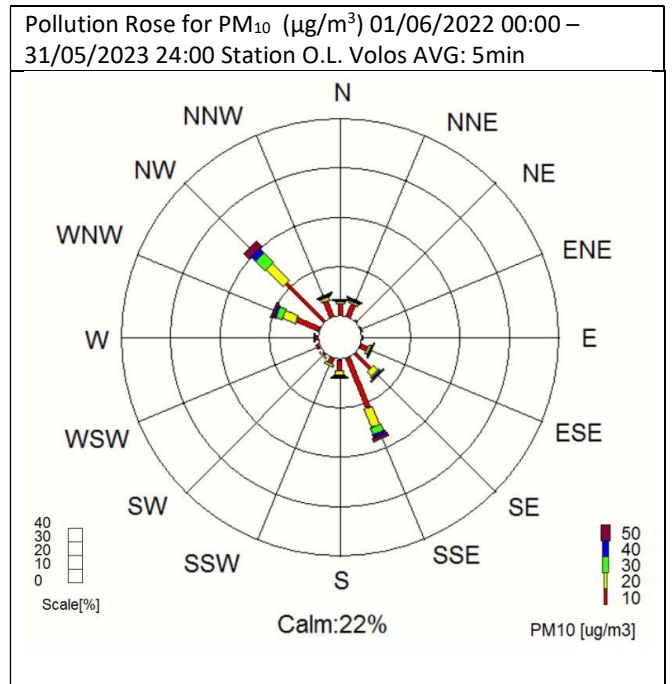
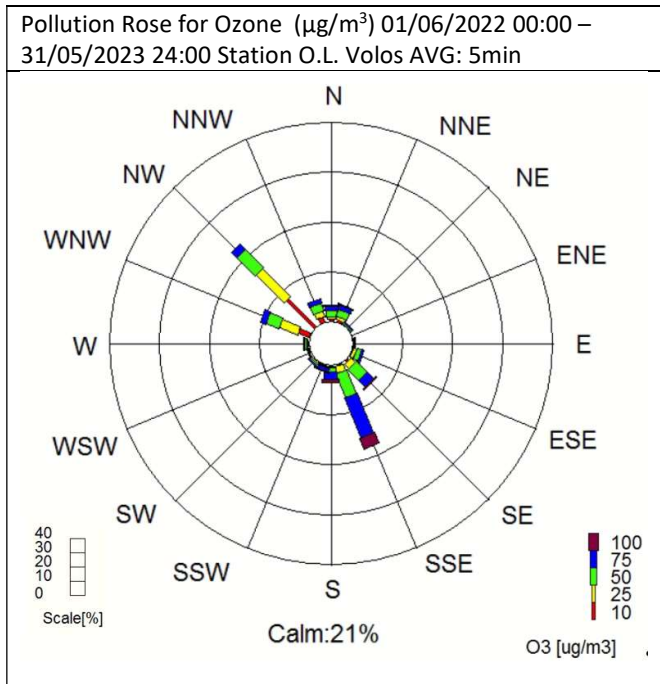


Pollution Rose for NO₂ ($\mu\text{g}/\text{m}^3$) 01/06/2022 00:00 – 31/05/2023 24:00 Station O.L. Volos AVG: 5min



Pollution Rose for NO_x ($\mu\text{g}/\text{m}^3$) 01/06/2022 00:00 – 31/05/2023 24:00 Station O.L. Volos AVG: 5min



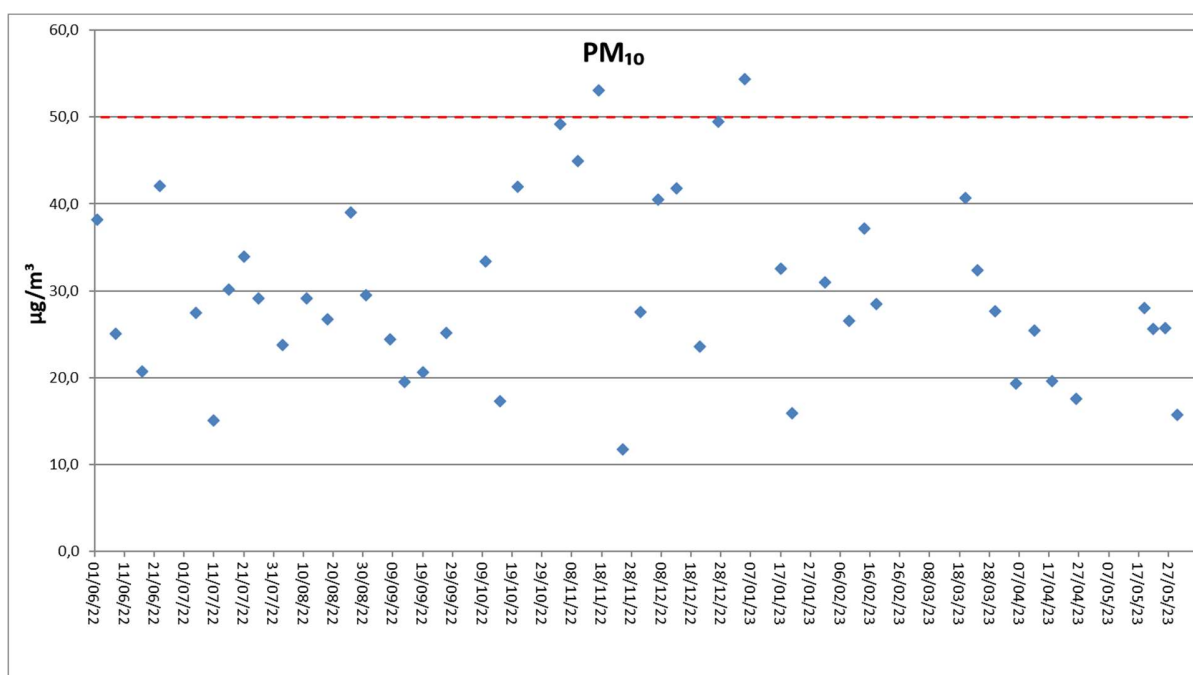


Σχήμα 2.1.5. Ροδογράμματα των συγκεντρώσεων των αέριων ρύπων (5min - 15min Average)

2.2. Σταθμικές μετρήσεις/αναλύσεις PM₁₀

2.2.1. PM₁₀

Οι ημερήσιες συγκεντρώσεις των PM₁₀ που συλλέχθηκαν σε φίλτρο για χημική ανάλυση και προσδιορίστηκαν σταθμικά κυμάνθηκαν μεταξύ 11.7 και 54.3 μg/m³, εμφανίζοντας δύο υπερβάσεις του ημερήσιου ορίου της Οδηγίας 2008/50/ΕΚ (50 μg/m³) (Σχήμα 2.2.1).



Σχήμα 2.2.1. Ημερήσιες σταθμικές συγκεντρώσεις PM₁₀ κατά το χρονικό διάστημα 01/06/22-31/05/23

2.2.2. PAHs

Οι συγκεντρώσεις των PAHs που ανιχνεύθηκαν στα δείγματα PM₁₀ δίνονται στον Πίνακα 2.2.1. Οι συγκεντρώσεις του Β[α]Ργ κυμάνθηκαν από 0,0004 μέχρι 1,054 ng/m³ με μέση τιμή 0,169 ng/m³. Η τιμή αυτή είναι χαμηλότερη της τιμής-στόχου της Οδηγίας 2004/107/ΕΚ (1 ng/m³ ως μέση ετήσια τιμή).

2.2.3. Μέταλλα/ μεταλλοειδή

Οι συγκεντρώσεις των μετάλλων/ μεταλλοειδών που προσδιορίστηκαν στα δείγματα PM₁₀ όπου ολοκληρώθηκαν οι αναλύσεις, δίνονται στον Πίνακα 2.2.2. Οι μέσες ετήσιες συγκεντρώσεις των νομοθετημένων μετάλλων είναι κάτω από τις τιμές-στόχους της Οδηγίας 2004/107/ΕΚ (6, 5, 20 και 500 ng/m³ για As, Cd, Ni, Pb, ως μέση ετήσια τιμή).

Πίνακας 2.2.1. Συγκεντρώσεις PAHs (ng/m³)

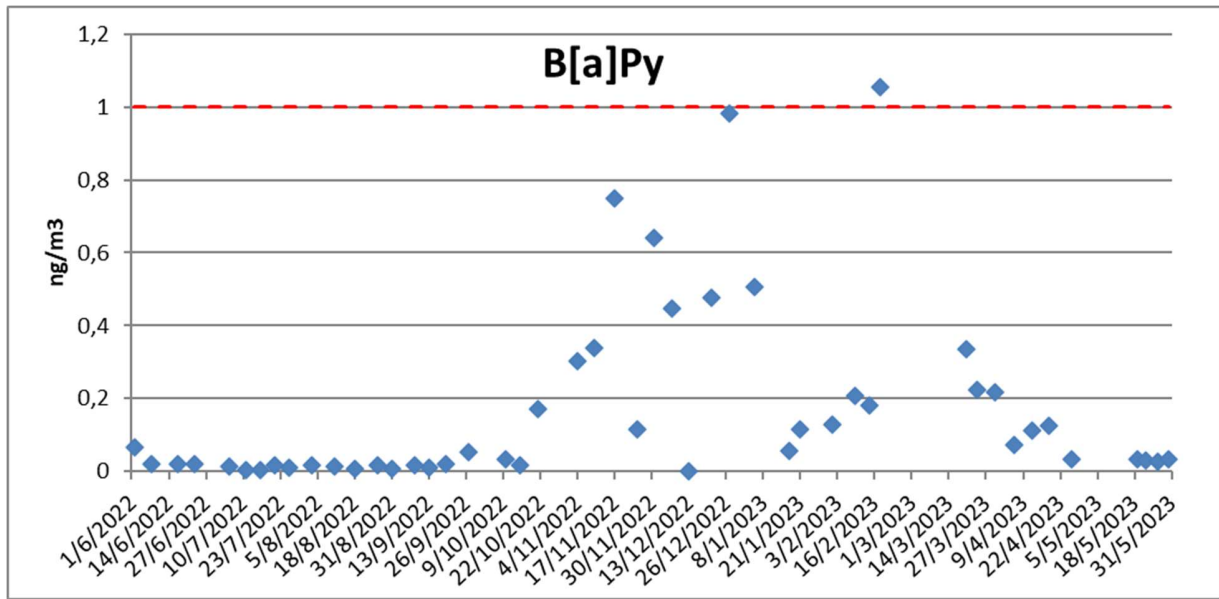
Ημερομηνία	Ph	An	Fl	Py	B[a]An	Chry	B[b]Fl	B[k]Fl	B[a]Py	dB[a,h]An	B[ghi]Pe	IPy
02/06/22	0,113	0,008	0,149	0,155	0,089	0,085	0,101	0,076	0,066	0,050	0,088	0,054
08/06/22	0,169	0,016	0,042	0,025	0,093	0,075	0,140	0,046	0,021	0,007	0,102	0,099
17/06/22	0,161	0,015	0,040	0,024	0,091	0,073	0,138	0,045	0,021	0,007	0,101	0,101
23/06/22	0,169	0,016	0,042	0,025	0,093	0,075	0,140	0,046	0,021	0,0068	0,1023	0,0986
05/07/22	0,345	0,105	0,052	0,021	0,334	0,092	0,121	0,013	0,013	0,0002	0,0386	0,001
11/07/22	0,142	0,020	0,050	0,047	0,188	0,048	0,018	0,005	0,005	0,0002	0,0152	0,0009
16/07/22	0,515	0,086	0,027	0,110	0,144	0,113	0,026	0,006	0,005	0,0002	0,0003	0,0009
21/07/22	0,604	0,105	0,316	0,223	1,212	0,097	0,079	0,018	0,018	0,0064	0,0539	0,0460
26/07/22	0,066	0,018	0,146	0,056	0,115	0,030	0,031	0,010	0,011	0,0002	0,0003	0,0204
03/08/22	0,118	0,012	0,046	0,040	0,170	0,049	0,042	0,013	0,018	0,0039	0,0351	0,0262
11/08/22	0,185	0,041	0,024	0,027	0,099	0,036	0,045	0,011	0,014	0,0002	0,0330	0,0009
18/08/22	0,100	0,043	0,017	0,013	0,129	0,032	0,051	0,007	0,008	0,0002	0,0259	0,0009
26/08/22	0,082	0,012	0,013	0,011	0,074	0,030	0,050	0,017	0,018	0,0002	0,0541	0,0385
31/08/22	0,092	0,011	0,026	0,019	0,076	0,032	0,032	0,008	0,009	0,0002	0,0359	0,0160
08/09/22	0,441	0,056	0,059	0,032	0,221	0,053	0,040	0,011	0,016	0,0002	0,0433	0,0256
13/09/22	0,054	0,007	0,015	0,009	0,043	0,022	0,027	0,008	0,010	0,0002	0,0245	0,0297
19/09/22	0,076	0,010	0,018	0,011	0,057	0,036	0,040	0,015	0,020	0,0002	0,0559	0,0395
27/09/22	0,090	0,007	0,031	0,026	0,058	0,072	0,098	0,039	0,052	0,000	0,140	0,105
10/10/22	0,082	0,010	0,056	0,055	0,074	0,105	0,100	0,030	0,033	0,000	0,082	0,068
15/10/22	0,065	0,009	0,033	0,023	0,047	0,030	0,076	0,023	0,017	0,000	0,076	0,091
21/10/22	0,072	0,021	0,042	0,080	0,871	0,149	0,309	0,114	0,172	0,033	0,466	0,308
04/11/22	0,107	0,019	0,106	0,109	0,118	0,153	0,488	0,170	0,303	0,056	0,598	0,432
10/11/22	0,092	0,022	0,089	0,137	0,114	0,190	0,660	0,253	0,338	0,069	0,627	0,566
17/11/22	0,215	0,000	0,204	0,061	0,307	0,397	0,916	0,427	0,748	0,000	1,360	0,809
25/11/22	0,146	0,041	0,110	0,098	0,074	0,044	0,263	0,116	0,115	0,038	0,645	0,229
01/12/22	0,201	0,000	0,269	0,059	0,243	0,458	0,917	0,398	0,641	0,000	1,220	0,754
07/12/22	0,205	0,002	0,222	0,105	0,216	0,075	0,605	0,262	0,448	0,0613	1,0697	0,527
13/12/22	0,000	0,000	0,001	0,001	0,000	0,000	0,000	0,000	0,000	0,000	0,001	0,002
21/12/22	0,288	0,014	0,001	0,076	0,549	0,820	1,083	0,484	0,477	0,120	1,353	0,726

ΗΜΕΡΟΜΗΝΙΑ	Ph	An	Fl	Py	B[a]An	Chry	B[b]Fl	B[k]Fl	B[a]Py	dB[a,h]An	B[ghi]Pe	IPy
27/12/22	0,288	0,023	0,001	0,075	0,552	0,989	1,424	0,652	0,982	0,177	1,488	1,131
05/01/23	0,279	0,011	0,001	0,059	0,347	0,817	1,287	0,571	0,505	0,130	1,211	0,937
17/01/23	0,145	0,009	0,037	0,019	0,082	0,060	0,106	0,039	0,058	0,000	0,474	0,100
21/01/23	0,094	0,004	0,037	0,035	0,091	0,116	0,231	0,094	0,114	0,000	0,401	0,222
01/02/23	0,218	0,009	0,052	0,040	0,180	0,183	0,266	0,121	0,128	0,000	0,588	0,239
09/02/23	0,241	0,019	0,165	0,192	0,325	0,684	0,983	0,417	0,208	0,101	0,979	0,708
14/02/23	0,252	0,009	0,124	0,173	0,242	0,425	0,671	0,288	0,182	0,077	0,619	0,532
18/02/23	0,206	0,000	0,198	0,452	0,952	1,372	6,154	1,420	1,054	0,000	1,900	1,433
20/03/23	0,235	0,003	0,001	0,062	0,248	0,349	0,617	0,277	0,336	0,086	0,623	0,536
24/03/23	0,122	0,003	0,033	0,084	0,283	0,174	0,444	0,200	0,224	0,068	0,288	0,416
30/03/23	0,128	0,002	0,038	0,078	0,187	0,238	0,428	0,197	0,217	0,062	0,441	0,371
06/04/23	0,216	0,005	0,058	0,107	0,029	0,078	0,177	0,075	0,073	0,026	0,203	0,154
12/04/23	0,169	0,004	0,072	0,119	0,069	0,161	0,227	0,095	0,111	0,038	0,270	0,210
18/04/23	0,254	0,008	0,050	0,092	0,033	0,112	0,293	0,121	0,126	0,047	0,411	0,304
26/04/23	0,119	0,003	0,039	0,027	0,026	0,049	0,080	0,029	0,035	0,000	0,154	0,082
19/05/23	0,141	0,004	0,039	0,015	0,000	0,045	0,067	0,023	0,034	0,000	0,167	0,074
22/05/23	0,141	0,005	0,041	0,026	0,044	0,027	0,048	0,017	0,032	0,000	0,139	0,065
26/05/23	0,119	0,004	0,041	0,020	0,000	0,042	0,048	0,018	0,027	0,000	0,055	0,061
30/05/23	0,269	0,009	0,043	0,035	0,000	0,024	0,062	0,022	0,035	0,020	0,162	0,067
Ετήσιος μ.ο.	0,180	0,018	0,069	0,071	0,200	0,196	0,422	0,153	0,169	0,027	0,396	0,268
Τυπική απόκλιση	0,117	0,024	0,072	0,076	0,249	0,286	0,919	0,248	0,252	0,042	0,476	0,333
Ελάχιστο	0,0003	0,0002	0,0012	0,0005	0,0002	0,0001	0,0003	0,0003	0,0004	0,0002	0,0003	0,0009
Μέγιστο	0,604	0,105	0,316	0,452	1,212	1,372	6,154	1,420	1,054	0,177	1,900	1,433

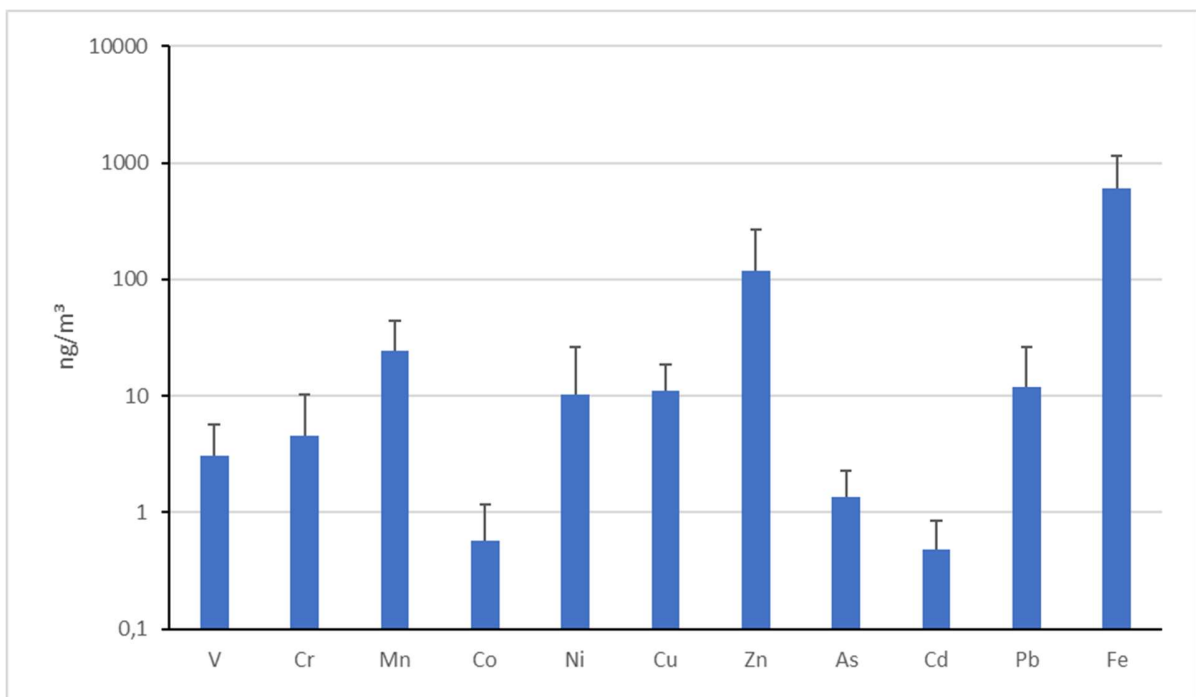
Πίνακας 2.2.2. Συγκεντρώσεις μετάλλων/μεταλλοειδών στα PM₁₀ (ng/m³)

Ημερομηνία	V	Cr	Mn	Co	Ni	Cu	Zn	As	Cd	Pb	Fe
02/06/2022	0,9	3,3	28	1,3	3,2	11,8	220	0,6	0,7	19	840
17/06/2022	0,9	4,9	9,3	0,6	10,4	5	139	0,8	0,4	22	162
23/06/2022	4,1	0,9	27	1,4	0,8	8,2	108	0,9	0,8	0,6	1010
05/07/2022	2,7	4,2	28	0,5	2,6	8	132	0,9	0,5	0,5	162
11/07/2022	2,8	3,7	10,3	0,7	28	5,5	107	0,7	0,7	0,4	162
16/07/2022	3,7	4,3	26	1,5	14,4	9,8	600	0,7	0,7	0,3	480
21/07/2022	1,8	2,5	60	1,3	12,4	23	210	1	0,3	11,6	1650
26/07/2022	0,9	5	14,3	1	2,4	5	122	0,5	0,3	0,5	162
03/08/2022	4,7	3,9	23	1,4	28	11,8	190	0,7	0,8	0,3	590
11/08/2022	3,3	4,2	25	1,3	2,4	7,6	140	0,8	0,6	0,4	330
18/08/2022	0,9	0,6	10	0,6	1,6	2,7	113	0,4	0,8	0,7	162
26/08/2022	4,6	0,5	25	1,4	1,6	4,2	120	0,4	0,5	0,7	610
31/08/2022	3,3	5,1	61	1,5	9,8	16	186	0,4	0,5	11,7	1030
08/09/2022	3,7	1,5	64	1,3	48	16,5	190	0,4	0,6	9	670
13/09/2022	4,6	5,4	75	1,5	69	24	220	0,6	0,8	30	1500
19/09/2022	4,5	3,9	20	0,5	9,6	9,3	220	0,5	0,8	2,7	162
27/09/2022	5,0	5	35	1,4	22	11,9	310	0,7	0,6	8,3	680
10/10/2022	10	0,8	46	1,4	15,8	25	470	0,7	0,7	38	630
15/10/2022	2,5	3,8	4,9	0,6	0,7	3	110	0,8	0,8	0,5	162
21/10/2022	10,3	2	100	1,6	1,4	45	440	0,4	0,5	74	2200
04/11/2022	5,1	1,3	13,6	1,2	2,4	5,9	145	0,4	0,7	0,4	162
10/11/2022	4,6	0,5	14,3	0,6	0,8	8,2	167	0,4	0,8	4,2	162
17/11/2022	6	10,3	26	0,16	23	16,1	2,7	4	0,2	9,7	1480
25/11/2022	3,7	2,9	21	0,04	1,01	4,8	2,7	1,96	0,2	14,6	130
01/12/2022	2,4	0,29	9,4	0,09	70	6,7	2,7	1,44	0,2	7	220
07/12/2022	3,5	1,65	16,7	0,04	1,18	8,7	21	1,78	0,2	24	380
13/12/2022	4,7	5,3	15,3	0,04	5,6	16,8	18,2	3,1	0,2	19,6	300
21/12/2022	11,3	4,4	28	0,22	14,7	18,8	31	2,5	0,2	42	980
27/12/2022	1,75	8	14,8	0,04	3,8	10,3	14,7	2,3	0,2	9	330
05/01/2023	4,4	3,8	24	0,19	12,1	21	23	1,95	0,2	28	1310
17/01/2023	0,18	2,9	4,8	0,04	0,11	0,54	2,7	0,25	0,2	2,3	270

Ημερομηνία	V	Cr	Mn	Co	Ni	Cu	Zn	As	Cd	Pb	Fe
21/01/2023	2,5	11,9	19,5	0,1	4,3	10,1	20	2,1	0,2	13,5	2260
01/02/2023	0,94	1,48	18,9	0,04	2,2	11,1	27	1,87	0,2	23	330
09/02/2023	2,4	3,2	17,5	0,04	1,29	12,1	22	2,8	0,2	16,3	380
14/02/2023	1,53	40	15,9	0,04	2,3	6,5	15,8	2,7	0,2	12,3	230
18/02/2023	2,4	7,6	38	0,25	4,5	12,9	31	2,9	0,2	26	380
20/03/2023	1,35	2,9	14,7	0,04	1,46	10,9	2,7	2,2	0,2	10,1	960
24/03/2023	1,69	6	18,4	0,04	2,5	10,9	2,7	2,9	0,2	10,7	920
30/03/2023	1,01	3,8	18,4	0,04	1,34	10,5	21	1,99	0,2	8	240
06/04/2023	1,35	3,2	9,9	0,04	7,7	4,3	2,7	1,31	0,2	4,3	210
12/04/2023	0,18	5	14,7	0,04	2,3	10,1	2,7	0,25	0,2	3,8	1090
18/04/2023	0,18	3,1	9,3	0,04	0,11	6,2	2,7	2	0,2	4,7	340
26/04/2023	1,81	3,3	12,8	0,04	5,7	7,3	2,7	1,81	0,2	5,7	390
22/05/2023	0,18	3	12,2	0,04	4,4	13,4	530	1,28	2,1	12,5	380
26/05/2023	0,18	3,3	6,5	0,04	7	9,3	13,8	1,9	0,2	4,1	310
30/05/2023	0,18	3,7	8,7	0,04	8,1	5,4	2,7	1,65	1,5	8,4	160
Ετήσιος μ.ο.	3,1	4,5	24	0,57	10	11	119	1,4	0,48	12	601
Τυπική απόκλιση	2,6	5,8	20	0,59	16	7,6	148	0,94	0,38	14	539
Μέγιστο	11,3	40	100	1,6	70	45	600	4	2,1	74	2260
Ελάχιστο	0,18	0,29	4,8	0,04	0,11	0,54	2,7	0,25	0,2	0,3	130



Σχήμα 2.2.2. Ημερήσιες συγκεντρώσεις B[a]P κατά το χρονικό διάστημα 01.06.21-31.05.22



Σχήμα 2.2.3. Μέσες ετήσιες συγκεντρώσεις μετάλλων/μεταλλοειδών κατά το χρονικό διάστημα 01.06.22-31.05.23

Βιβλιογραφία

- Argyropoulos, G., Samara, C., 2008. Source apportionment in Volos and planning of environmental policy for air quality improvement. Technical Report. Aristotle University of Thessaloniki (in Greek).
- Argyropoulos G., C. Samara C., Diapouli, E. Eleftheriadis K., Papaoikonomou K., Kungolos A., 2017. Source apportionment of PM10 and PM2.5 in major urban Greek agglomerations using a hybrid source-receptor modeling process. *The Science of the Total Environment* 601-602, 906-917.
- Bairachtari K., Saraga D., Moysiadi A., Vasilakos CH. and Maggos T., PAHs concentration levels in the ambient air of a suburban area in Athens and in a rural area near a timber processing plant. *Proceedings of the 14th International Conference on Environmental Science and Technology, Rhodes, Greece, 3-5 September 2015.*
- Diapouli E., Grigoratos Th., Proias G., Vasilatou V., Maggos Th., Samara C., A. Kungolos, Eleftheriadis K. PM chemical composition and sources in the greater area of Volos during the LIFE+ACEPT-AIR Project (submitted).
- Diapouli E., Manousakas M., Vratolis S., Vasilatou V., Maggos Th., Saraga D., Grigoratos Th., Argyropoulos G., Voutsas D., Samara C., Eleftheriadis K., 2017. Evolution of air pollution source contributions over one decade, derived by PM10 and PM2.5 source apportionment in two metropolitan urban areas in Greece. *Atmos. Environ.* 164, 416-430.
- Eleftheriadis K., Diapouli E., Gini M.I., Vasilatou V., Samara C., Argyropoulos G., 2011. Source apportionment of airborne particulate matter for three urban centers in Greece. *European Aerosol Conference, 4-9 Sept, 2011.*
- Emmanouil C., Drositi E., Vasilatou V., Diapouli E., Krikonis K., Eleftheriadis K., Kungolos A., 2017. Study on particulate matter air pollution, source origin, and human health risk based of PM10 metal content in Volos City, Greece. *Toxicological & Environmental Chemistry: 1-19.* doi:10.1080/02772248.2016.1242005.
- Manoli, E., Voutsas, D., Samara, C., 2002. Chemical characterization and source identification/apportionment of fine and coarse air particles in Thessaloniki, Greece. *Atmospheric Environment*, 36(6), 949–961. [https://doi.org/10.1016/S1352-2310\(01\)00486-1](https://doi.org/10.1016/S1352-2310(01)00486-1)
- Manoli E., Kouras A., Samara C., 2004. Profile analysis of ambient and source emitted particle-bound polycyclic aromatic hydrocarbons from three sites in northern Greece. *Chemosphere* 56, 867–878.
- Manoli E., Kouras A., Samara C., 2011. Polycyclic aromatic hydrocarbons in the Greek atmospheric environment, 16th International Symposium on Environmental Pollution and its Impact on Life in the Mediterranean Region, 24-27 Sept 2011, Ioannina, Greece.
- Manoli E., Kouras A., Karagkiozidou O., Argyropoulos G., Voutsas D., Samara C., 2016. Polycyclic aromatic hydrocarbons (PAHs) at traffic and urban background sites of northern Greece: source apportionment of ambient PAH levels and PAH-induced lung cancer risk. *Environ Sci Pollut Res* 23(4):3556-68.

- Manoli E., Chelioti A., Kouras A., Voutsas D., Samara C., Kampanos H., 2015. Concentrations of gaseous and particulate pollutants in the port of Volos, Greece. CEMEPE & SECOTOX 2015, Mykonos Island, June 14-18.
- Manoli E., Chelioti-Chatzidimitriou A., Karageorgou K., Kouras A., Voutsas D., Samara C., Kampanos I., 2017. Polycyclic aromatic hydrocarbons and trace elements bounded to airborne PM₁₀ in the harbor of Volos, Greece: Implications for the impact of harbor activities. *Atmospheric Environment* 167, 61-72.
- Moustris K.P., Proias G.T., Larissi I.K., Nastos P.T., Koukouletsos K.V., Palitsos A.G., 2015. Health impacts due to particulate air pollution in Volos City, Greece. *Journal of Environmental Science and Health, Part A*. VOL. 0, No. 0, 1-6 (<http://dx.doi.org/10.1080/10934529.2015.1079099>)
- Papaioannou A.B., Viras L.G., Nastos P.T., Paliatsos A.G., 2010. Temporal evolution of sulfur dioxide and nitrogen oxides in the city of Volos, Greece. *Environmental Monitoring and Assessment* 161, 485-494.
- Proias G., Grigoratos T., Diapouli E., Vratolis S., Vasilatou V., Saraga D., Maggos Th., Samara C., Kungolos A., Kipouros S., Eleftheriadis K. Chemical composition and sources of PM₁₀ and PM_{2.5} in the greater area of Volos during the LIFE+ACEPT-AIR Project. Book of Abstracts of the 4th International Conference on Environmental Management, Engineering, Planning and Economics (CEMEPE) and SECOTOX Conference ISBN: 978-960-6865-67-1, Mykonos Island, Greece, June 24-28, 2013.
- Proias G., Moustris K., Larissi I., Nastos P., Paliatsos A. Temporal evolution of PM₁₀ concentrations during 2001- 2013 in the city of Volos, Greece MESAEP 2015, Crete, September 26 - 30 2015.
- Proias G.T., Moustris K.P., Larissi I.K., Nastos P.T. and Paliatsos A.G., 2012. AMBIENT PM₁₀ CONCENTRATIONS AND THE IMPACT OF WIND AT AN URBAN SITE IN CENTRAL GREECE. *Fresenius Environmental Bulletin* 21(7a), 1935 – 1941.
- Saffari A., Daher N., Samara C., Voutsas D., Kouras A., Manoli E., Karagkiozidou O., Vlachokostas Ch., Moussiopoulos N., Shafer M.M., Schauer J.J., Sioutas C., 2013. Increased Biomass Burning Due to the Economic Crisis in Greece and Its Adverse Impact on Wintertime Air Quality in Thessaloniki, *Environ. Sci. Technol.* 47, 13313–13320.
- Tolis I.E., Saraga E.D., Filiou F.K., Tziavos I.N., Tsiaousis P.Ch., Dinas A. Bartzis G.J., 2014. One-year intensive characterization on PM_{2.5} nearby port area of Thessaloniki, Greece. *Environ Sci Pollut Res*, DOI 10.1007/s11356-014-3883-7.
- Tzoumaka N.P., Kelessis G.A., Petrakakis J.M., Samara C., Papagiannopoulos M.N., Zoumakis M.N., Tzourelis G., 2008. Experimental measurements of C₂-C₅ and C₆-C₁₀ in urban area of Thessaloniki, Greece. *Fresenius Environmental Bulletin*, 17 (10A), 1594-1600.
- Voutsas D., Samara C., Kouimtzis Th., Ochsenkuhn K., 2002. Elemental composition of airborne particulate matter in the multi-impacted urban area of Thessaloniki, Greece. *Atmospheric Environment*, 36, 4453-4462.
- Wang X., Chancellor G., Evenstad J., Farnsworth E.J., Hase A., Olson M.G., Sreenath A., and Agarwal K.J., 2009. A Novel Optical Instrument for Estimating Size Segregated Aerosol Mass Concentration in Real Time. *Aerosol Science and Technology*, 43, 939–950.

- Γρηγοράτος Θ., Αργυρόπουλος Γ., Νικολάου Κ., Κουμπαρέλος Γ., Σαμαρά Κ., 2012. Αιωρούμενα Σωματίδια PM10 στην ευρύτερη περιοχή του Βόλου: Επίπεδα συγκεντρώσεων - Χημική σύσταση - Πηγές, 1ο Περιβαλλοντικό Συνέδριο Θεσσαλίας, 8-10 Σεπτεμβρίου, Σκιάθος, Πρακτικά σελ. 8.
- Μανώλη Ε., Χελιώτη Α., Κούρας Α., Βουτσά Δ., Σαμαρά Κ., Καμπανός Η. 2015. Συγκεντρώσεις αιωρούμενων σωματιδίων PM10 και γονοτοξικών συστατικών στο λιμάνι του Βόλου. 12ο Συνέδριο Χημείας Ελλάδας-Κύπρου, 8-10 Μαΐου 2015 Θεσσαλονίκη.
- Πρώιας Γ., Ελευθεριάδης Κ., Διαπούλη Ε., Βράτολης Σ., Βασιλάτου Β., Κούγκολος Α., Κηπουρός Σ., Παλιατσός Α.Γ. ΑΝΑΛΥΣΗ ΣΥΓΚΕΝΤΡΩΣΕΩΝ ΑΙΩΡΟΥΜΕΝΩΝ ΣΩΜΑΤΙΔΙΩΝ PM10 ΚΑΙ PM2.5 ΣΤΗΝ ΠΕΡΙΟΧΗ ΤΟΥ ΒΟΛΟΥ ΚΑΤΑ ΤΗ ΘΕΡΙΝΗ ΚΑΙ ΧΕΙΜΕΡΙΝΗ ΠΕΡΙΟΔΟ 2011 – 2012 ΣΤΟ ΠΛΑΙΣΙΟ ΤΟΥ ΠΡΟΓΡΑΜΜΑΤΟΣ LIFE + ACERT-AIR. Βιβλίο Περιλήψεων 1ου Περιβαλλοντικού Συνεδρίου Θεσσαλίας Σκιάθος, 8-10 Σεπτεμβρίου 2012, ISBN 978-960-6865-49-7.

ΠΑΡΑΡΤΗΜΑ 1

Οριακές τιμές της Οδηγίας 2008/50/EC

NO₂

Περίοδος μέσου όρου	Τιμή ορίου (μg/m ³)	Περιορισμοί
1 ώρα	200	Να μην υπερβαίνεται περισσότερο από 18 φορές το χρόνο
Ημερολογιακό έτος	40	-
Ανώτερο όριο εκτίμησης	70% της ωριαίας οριακής τιμής (140 μg/m ³)	Να μην υπερβαίνεται περισσότερο από 18 φορές το χρόνο
	80% της ετήσιας οριακής τιμής (32 μg/m ³)	-
Κατώτερο όριο εκτίμησης	50% της ωριαίας οριακής τιμής (100 μg/m ³)	Να μην υπερβαίνεται περισσότερο από 3 φορές το χρόνο
	65% της ετήσιας οριακής τιμής (26 μg/m ³)	-
Όριο συναγερμού Ωραία τιμή για 3 συνεχόμενες ώρες	400 μg/m ³	

O₃

	Περίοδος μέσου όρου	Τιμή ορίου (μg/m ³)	Περιορισμοί
Τιμή-στόχος	Μέγιστη ημερήσια 8ωρη τιμή	120	Δεν πρέπει να υπερβαίνεται περισσότερο από 25 φορές το χρόνο για διάστημα 3 ετών
Όριο ενημέρωσης	Ωραία τιμή	180	
Όριο συναγερμού	Ωραία τιμή	240	

Βενζόλιο

Περίοδος μέσου όρου	Τιμή ορίου (μg/m ³)
Ημερολογιακό έτος	5
Ανώτερο όριο εκτίμησης	70% της οριακής τιμής (3.5 μg/m ³)
Κατώτερο όριο εκτίμησης	40% της οριακής τιμής (2 μg/m ³)

PM₁₀

Περίοδος μέσου όρου	Τιμή ορίου (μg/m ³)	Περιορισμοί
1 ημέρα	50	Να μην υπερβαίνεται περισσότερο από 35 φορές το χρόνο
Ανώτερο όριο εκτίμησης	70% της ημερήσιας οριακής τιμής (35 μg/m ³)	
Κατώτερο όριο εκτίμησης	50% της ημερήσιας οριακής τιμής (25 μg/m ³)	
Ημερολογιακό έτος	40	
Ανώτερο όριο εκτίμησης	70% της ημερήσιας οριακής τιμής (28 μg/m ³)	
Κατώτερο όριο εκτίμησης	50% της ημερήσιας οριακής τιμής (20 μg/m ³)	

PM_{2.5}

Περίοδος μέσου όρου	Τιμή ορίου (μg/m ³)	Περιορισμοί
Ημερολογιακό έτος	25	-
	20	Ενδεικτική οριακή τιμή προς επίτευξη την 1.1.2020
Ανώτερο όριο εκτίμησης	70% της ημερήσιας οριακής τιμής (17 μg/m ³)	
Κατώτερο όριο εκτίμησης	50% της ημερήσιας οριακής τιμής (12 μg/m ³)	